

***Pholcus fuerteventurensis* Wunderlich, 1992**

Wunderlich, J. 1992. Die Spinnen-Fauna der Makaronesischen Inseln. Taxonomie, Ökologie, Biogeographie und Evolution. Beitr. Araneol. 1: 1-619.

p. 319

78. *Pholcus fuerteventurensis* n.sp. (Abb. 145-155)

Material: Fuerteventura: NW, Barranco de los Molinos, unter einer Felsquelle, Holotypus (♂) 2♂ 4♀ JW leg. in V, SJW; etwa 8km N Puerto del Rosario bei Guisgüey, etwa 350m, in kleinen Höhlen, 3♂ 4♀ ljuv. JW leg. in V, 1♂ ljuv. BM, 1♂ 1♀ HDO, 1♀ Mus. Warschau, 1♂ 2♀ MNHN; Halbinsel Jandia, bei Cofete, in der "Villa Winter", 1♂ 1♀ JW leg. in V, SJW; etwa 13km SSW Puerto del Rosario, Bco. de la Torre, in einer Halbhöhle, 2♀ ljuv. JW leg. in V, SJW; Bco. W La Peña, unter Steinen, 5juv. JW leg. in V, SJW; ohne Lokalität, meiner Ansicht nach aber höchstwahrscheinlich von Fuerteventura stammend, obwohl von hier keine Bananen exportiert wurden oder werden (wohl aber Tomaten!), da ich die Art ausschließlich auf Fuerteventura fand, 1♂ lsubad.♀ lebend mit Bananen von den Kanarischen nach Hamburg verfrachtet, G. SCHMIDT leg. 18.VII. 1952 & det. irrtümlich "*Pholcus phalangioides* 1♂ 1♀", SMF.

Diagnose: ♂♀-Epigaster mit 1 Paar großen, weit getrennten Gruben und hier sklerotisiert (Abb. 146). ♂-Pedipalpus (Abb. 147-153): Trochanter mit langem, schlankem Sporn, Procursus mit 2 meist stark gebogenen Börstchen in variabler Position (meist nahe beisammen), Uncus im distalen Abschnitt schmal und gerade, Appendix bereits an der Basis zweiteilig, der eine Abschnitt stumpf, der andere krallenförmig. ♀-Geschlechtsfeld (Abb.154) konvex, "Knöpfchen" am hinteren Rand, Vulva: Abb.155.

Beschreibung:

Maße (in mm): Gesamt-Länge ♂♀ 5.0-6.5, Prosoma: Länge und Breite 1.5-1.7, Bein I (♂): Femur 9.0, Patella 0.6, Tibia 9.5, Metatarsus 14.7, Tarsus 2.1, Tibia II 6.8, Tibia III 4.4, Tibia IV 6.1, ♀: Tibia I 8.1, Tibia IV 7.8.

Färbung: Prosoma gelb, dorsal überwiegend grau verdunkelt, Beine gelb, verdunkelt sind alle Patellen und alle Femora distal vor einem fast weißen Ring apical sowie die Tibien (deutlich bei III und IV) vor einem fast weißen Ring apical, Opisthosoma hellgrau,

p. 320

dorsal mit 3 bis 5 Paar dunkelgrauen Flecken ähnlich *ornatus*, vgl. WUNDERLICH (1987: Abb.701). - Region der Augen deutlich erhöht, beim ♂ stärker. Auswüchse der ♂-Cheliceren: Abb.145. Beine lang und dünn (siehe oben). Opisthosoma langoval, Epigaster: Abb. 146.

Ein Eier-Paket enthielt 46 hellgraue Eier.

Beziehungen: Sie sind unsicher. Der Stammart der übrigen *Pholcus*-Arten der Kanarischen Inseln steht *phalangioides* nach den Genital-Strukturen deutlich näher als *fuerteventurensis*.

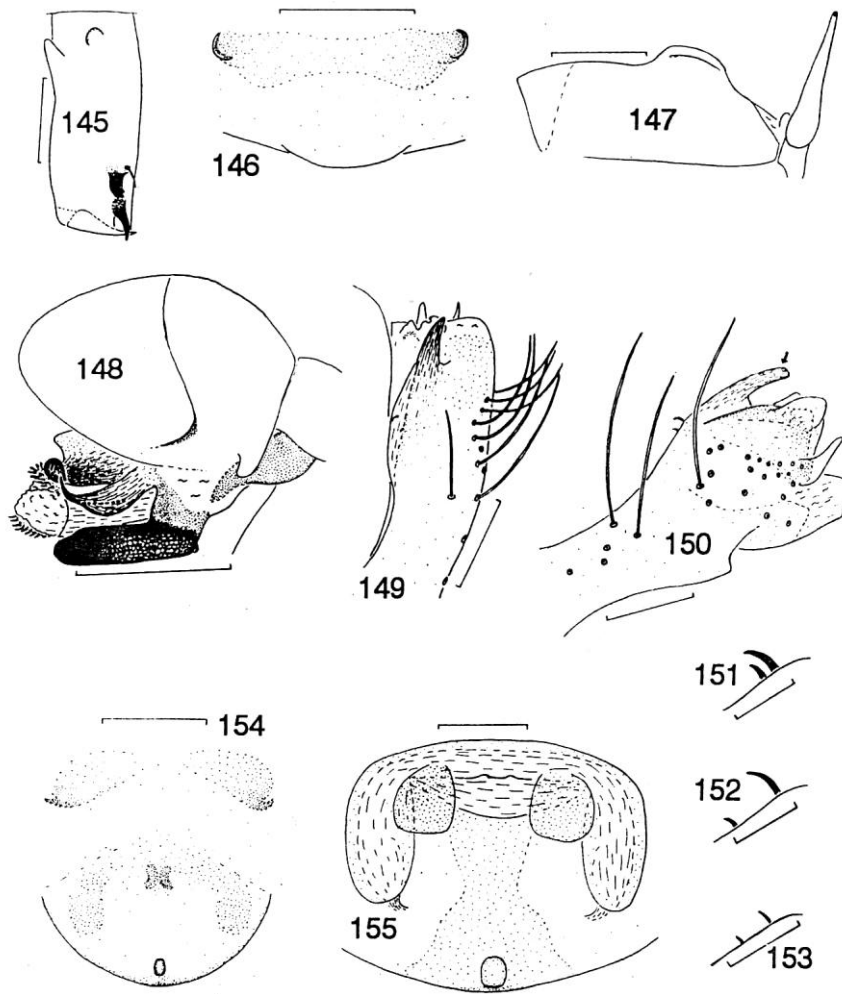


Fig.145-155: *Pholcus fuerteventurensis* n.sp., 145) r. ♂-chelice-
ra frontal, 146) ♂-epigaster, 147-153) r. ♂-pedipalpus, 147) tro-
chanter and femur prolat., 148) pedipalpus retrolat., 149-150)
distal part of the procurus dorsal and retrolateral, 151) (from
the Villa Winter)-153): variability of the tiny spines of the pro-
curus retrolateral, 154-155) ♀, genital area and vulva dorsal; M
in fig. 145, 149-150, 152) 0.2, 151-153) 0.05, the others 0.4.

Campos, C.G. & Wunderlich, J. 1995. The distribution of the species of the genus *Pholcus* Walckenaer on Gran Canaria - a first note, with the description of a new species. Beitr. Araneol. 4: 293-300.

p. 295

Pholcus fuerteventurensis WUNDERLICH 1991 (Abb. 10)

Material: Gran Canaria, between Bco. Honda and San Isidro, 2♂ 2♀
C. G. CAMPOS leg. 10. IX. 1992, ULT no. 02625 P.

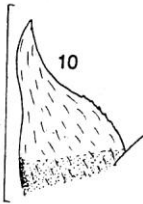
Remarks: 1. In one of the males the prolateral part of the appendix is claw-shaped as normally - comp. WUNDERLICH (1991: fig. 148) - in the second one this part is short and blunt at both sides. - 2. The material collected by G. SCHMIDT - comp. WUNDERLICH (1991: 196-197, 319) - originate not from Fuerteventura but perhaps from Gran Canaria (see above).

p. 296

Relationships: *P. edentatus* n.sp. (also from Gran Canaria) is next related, see above. We assume that both species did evolve on Gran Canaria and fuerteventurensis has been introduced to Fuerteventura by man.

Distribution: Canary Islands Fuerteventura and Gran Canaria (first record for Gran Canaria).

p. 297



10) Pholcus fuerteventurensis WUNDERLICH 1991: lamella of the r. procurrus ventrally. -- M in fig. 4-10 = 0.2mm.

Dimitrov, D., Ribera, C. 2005. *Pholcus vachoni* sp. n. (Araneae, Pholcidae) una nueva especie de Agadir (Marruecos). Rev. Iberica Aracnol. 11: 3-6.

p. 4

Pholcus vachoni n. sp.

Figuras 1-5

MATERIAL ESTUDIADO: 1 ♂ (Holotipo) procedente del sur de Agadir (única referencia de la localidad señalada en la etiqueta), Marruecos, L. Berland leg., 1939. Depositado en la colección MNHN, número AR 10298.

DISTRIBUCIÓN: Especie conocida solamente de la localidad tipo.

ETIMOLOGÍA: *Pholcus vachoni*. Patronímico en honor al Profesor Max Vachon respetando la propuesta nomenclatural del Dr. Lucien Berland, primer especialista que estudió este ejemplar.

DIAGNOSIS: Esta especie está estrechamente relacionada con el conjunto de especies endémicas del archipiélago canario. Se distingue fácilmente de *Pholcus* n. sp. (Dimitrov & Ribera, in press) de Montaña Clara y *P. fuerteventurensis* Wunderlich, 1992 de Fuerteventura, las especies morfológicamente más parecidas, por poseer el uncus más aplanado ventralmente y por presentar un conspicuo saliente en su parte distal (Fig. 5). Otra característica muy útil para su identificación es la ausencia de denticulos sobre la parte dorsal del procurus, presentes en *Pholcus* n. sp. y *P. fuerteventurensis*. La forma del apéndice del bulbo copulador y la morfología de la parte apical del procurus también son diferentes y pueden servir para distinguir estas tres especies.

DESCRIPCIÓN DEL MACHO: (Holotipo). Prosoma redondeado y de color amarillento. Dorsalmente con zonas de coloración más oscura, difícilmente observables debido a la fuerte decoloración causada por el alcohol. La fovea está bien marcada y es fácilmente observable. Los ojos se sitúan sobre una zona ocular elevada y están bordeados de una franja de color castaño. Dorsalmente el área ocular presenta largas setas ordenadas en líneas longitudinales. Distancia entre los OMA menor que la mitad de su diámetro; distancia entre ellos y los OLA es un poco más grande que la mitad del diámetro de los OLA. OLA con un diámetro que supera dos veces el

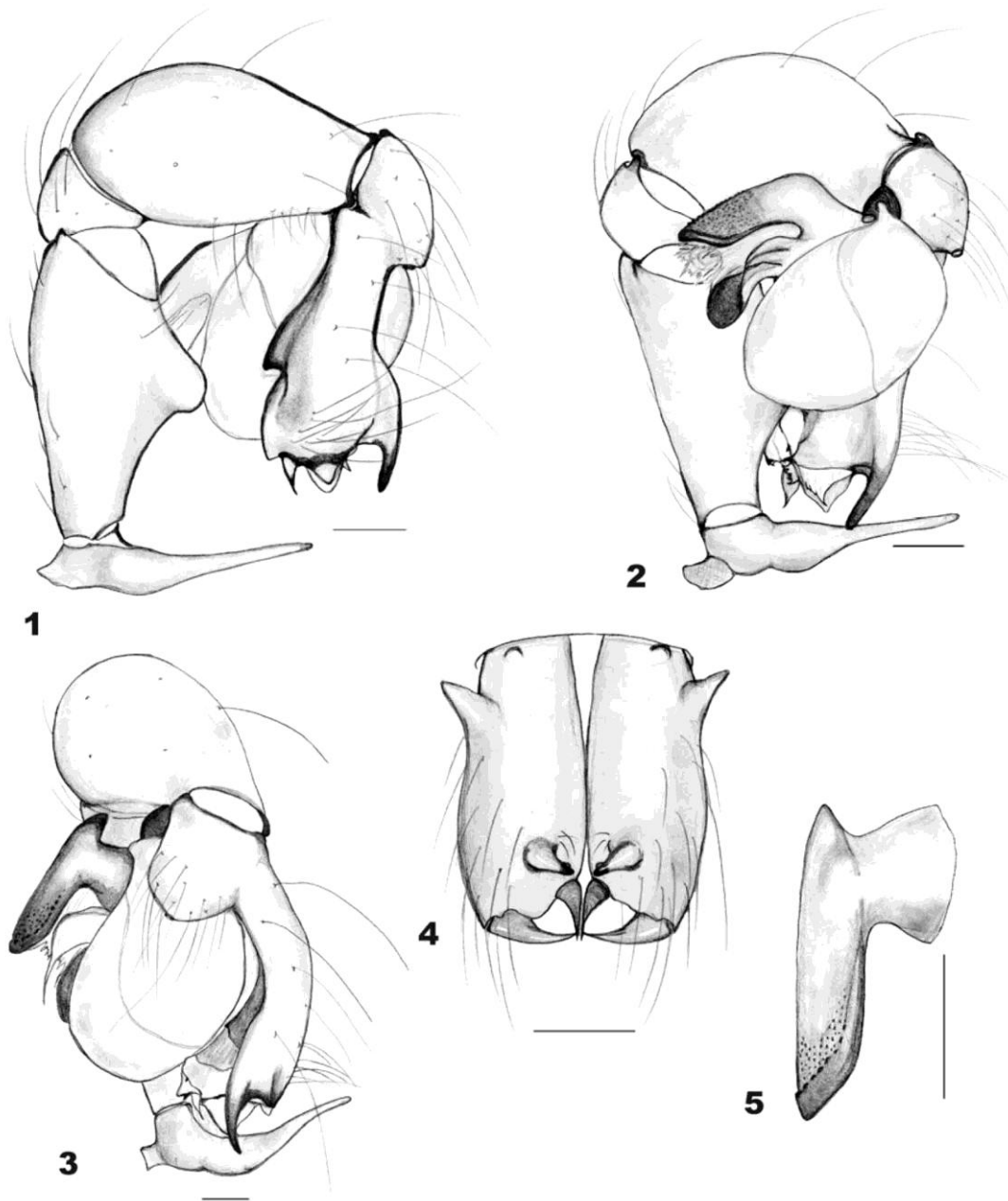
diámetro de los OMA. Esternón amarillento. Quelíceros (Fig. 4) amarillentos con las puntas de las apófisis distales más oscuras y de color pardo. Prominencias frontales situadas cerca del borde del clipeo. Pedipalpo (Figs. 1-3) de coloración ligeramente más oscura que el resto del prosoma. Las partes fuertemente quitinizadas presentan una coloración marrón. Apéndices marchadores de coloración similar a la del prosoma.

Opistosoma cilíndrico y de coloración amarillento. En el ejemplar estudiado, debido al efecto del alcohol, el opistosoma presenta un elevado grado de decoloración, aunque todavía se distinguen marcas de manchas más oscuras sobre su parte dorsal. Se pueden reconocer seis manchas redondas distribuidas en dos líneas longitudinales de tres.

Medidas. Prosoma: longitud 1.7, anchura 1.6. Opistosoma: longitud 4.6, anchura 1.3. Patas: I - fémur 9.8; patela 0.8; tibia 8.3; metatarso 15.1; tarso 1.9; II - fémur 7.3; patela 0.8; tibia 6.4; metatarso 7.8 (probablemente falta una parte); tarso falta; III - fémur 4.8; patela 0.8, tibia 4.4; metatarso 5.4; tarso falta; IV fémur 7.0; patela 0.8; tibia 7.3; metatarso 10.2; tarso falta. Pedipalpo: fémur 0.6; patela 0.2; tibia 0.6; tarso 0.3; procurus 0.7.

HEMBRA: desconocida

DISCUSIÓN Y AFINIDADES: Los caracteres morfológicos que presenta *P. vachoni* n. sp. ponen de manifiesto su afinidad con todas las especies de este género endémicas de las Islas Canarias. Desgraciadamente la hembra permanece desconocida y sus características no han podido compararse. A pesar de esto, su semejanza con las especies canarias es indudable ya que la estructura de la parte apical del procurus y la morfología del uncus son muy similares con las de *P. fuerteventurensis* de Fuerteventura y *Pholcus* n. sp. del islote de Montaña Clara. Esta estrecha relación entre especies del noroeste de África y especies canarias no es un hecho aislado. África es el continente más cercano y, por lo tanto, el probable punto de origen de los ancestros de una gran parte de las especies que hoy en día viven en el archipiélago canario. El reducido número de especies de fólidos conocidas del norte de África es, en gran medida, resultado de la insuficiente prospección en esta zona. Sin embargo otro factor que también podría haber afectado negativamente la diversidad de fólidos son los drásticos cambios climáticos que ha sufrido el continente africano en los últimos 20 000 años. En este periodo África ha experimentado grandes cambios, el más importante de los cuales ha sido la desertificación de norte del continente y la formación del desierto de Sahara en los últimos 6000 años (Petit-Maire & Guo, 1996; Doherty et al., 2000; Claussen et al., 1999). Estudios recientes de distintos grupos de artrópodos basados en análisis tanto morfológicos como moleculares, han evidenciado el origen africano de las especies canarias (Arnedo et al., 2001; Juan et al., 2000; Emerson et al., 2000). A pesar del reducido número de trabajos sobre los representantes de la familia Pholcidae en África se ha propuesto una



Figuras 1-5. *Pholcus vachoni* n. sp. 1. Pedipalpo del macho, prolateral. 2. Pedipalpo del macho, retrolateral. 3. Pedipalpo del macho, frontal. 4. Quelíceros del macho, frontal. 5. Uncus, retrolateral. Escalas 0.2mm.

posible relación entre algunas especies africanas asignadas formalmente al género *Spermophora* y miembros del género *Spermophorides* del archipiélago canario (Huber, 2003). Aunque a falta de estudios filogenéticos difícilmente podemos definir las relaciones exactas de esta nueva especie con los cuantiosos endemismos de este género presentes en las Islas Canarias, las numerosas características morfológicas que comparten apuntan hacia una proximidad filogenética.

Exceptuando a *P. phalangioides* (Fuesslin, 1775) y

P. opilionoides (Schrank, 1781), especies morfológicamente muy distintas de *P. vachoni* n. sp., las especies continentales geográficamente más próximas son *P. genuiformis* de Argelia, *P. berlandi* Fage, 1936 procedente de Senegal y *P. chattoni* Millot, 1941 de Costa de Marfil y Guinea. Desgraciadamente el macho de *P. genuiformis* permanece desconocido, así como la hembra de *P. vachoni*, es por ello que no ha sido posible estudiar las afinidades entre estas dos especies. Si se compararon varios ejemplares de las otras dos especies,

p. 6

(*P. chattoni* AR10192 y AR10199 del MNHN y un ejemplar de *P. berlandi* recolectado por J. Millot cerca de Dakar también del MNHN y sin número). En los dos casos la morfología de los órganos genitales manifiesta grandes diferencias con respecto a *P. vachoni*. Ambos poseen un uncus mucho más ancho y corto que el de *P. vachoni* y el del resto de las especies canarias. A esto tenemos que añadir marcadas diferencias en la forma de la apófisis del bulbo y en la morfología de la parte apical del procurus.

Dimitrov, D., Ribera, C. 2007. The genus *Pholcus* (Araneae, Pholcidae) in the Canary Islands. Zool. J. Linn. Soc. 151: 59-114.

p. 99

De Mas (CCRUB 4666-173, 4634-173, 4574-172, 4522-170, 4521-170); 2 mm, 2 juv., from Antigua, Fuerteventura, 29.i.2003, Dimitrov & De Mas (CCRUB 4577-172, 4668-173, 4637-173); 1 m, 1 f, 1 juv., from Ajui, Fuerteventura, 29.i.2003, Dimitrov & De Mas (CCRUB 4667-173, 4573-172); 1 m, Pajara, Fuerteventura, 21.i.2003, Dimitrov & De Mas (CCRUB 4575-172); 1 m, from Valle de Tarajala, Fuerteventura, 31.i.2003, Dimitrov & De Mas (CCRUB 4576-172).

Diagnosis: *P. fuerteventurensis* is distinguished from its similar congeners (*P. edentatus* and *P. anachoreta*) by the following characteristics: a pointed and unarched uncus with a less pronounced ridge (Figs 252, 261); the procurus' smaller, sharpened, apical apophysis and the shape of its apical part (Figs 251, 267, 265); and the shapes of the appendix of the bulb (Fig. 252) and the cheliceral apophyses (Figs 256, 258), which can also be used to identify this species. The female has a small triangular plate with two dark-coloured bands (Fig. 255).

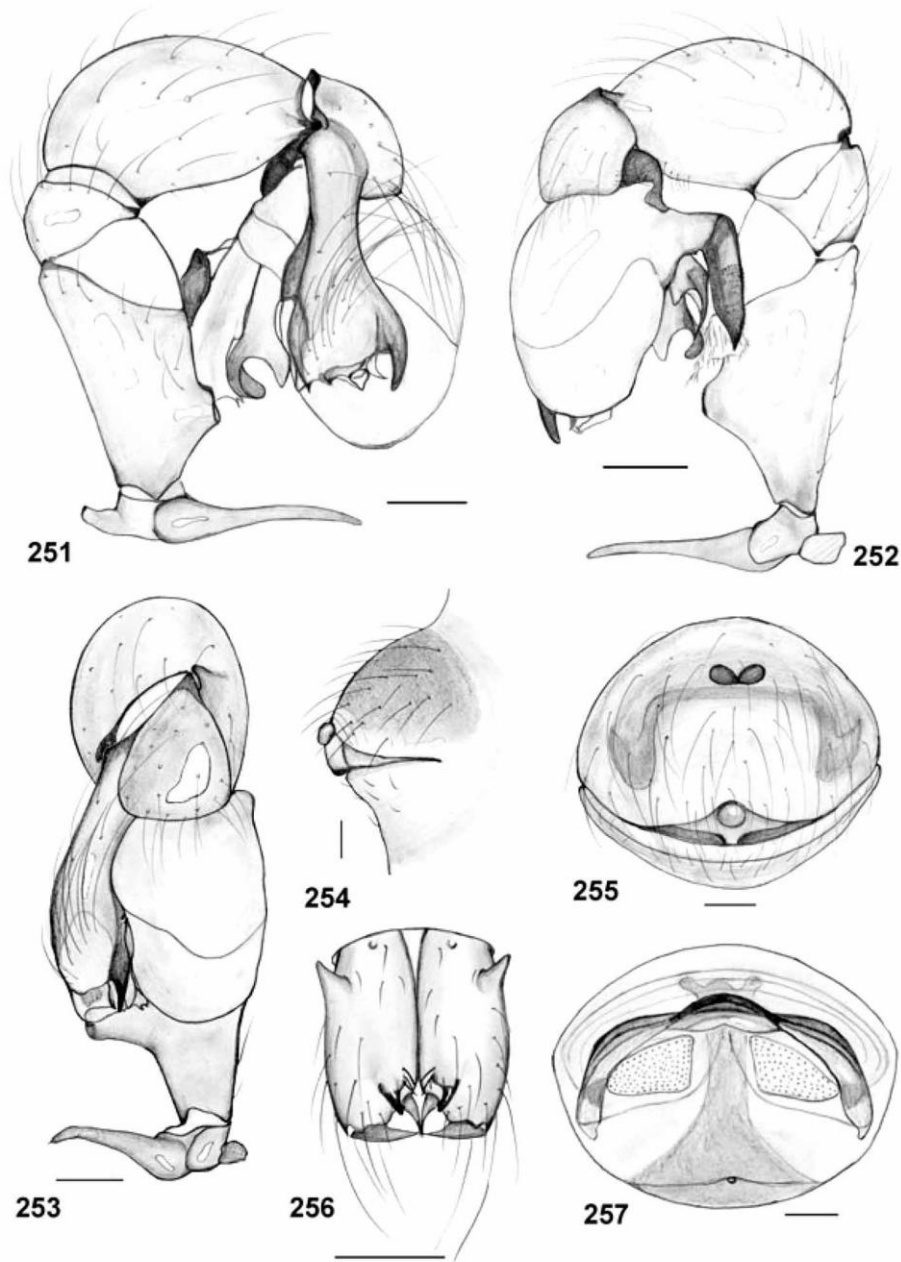
Description: Male: prosoma rounded with brownish-yellow colour. Dorsally, the thorax with brownish colouring, which begins as two darker lines over the dorsal side of the ocular elevation and spreads almost completely across the thorax. Well-marked fovea yellowish in colour. Ocular area elevated with two lateral triads on short cylindrical outgrowths. Diameter of AME less than half the diameter of ALE. Distance between AME and ALE less than ALE diameter. Eyes surrounded by brownish pigmentation. Sternum yellowish with darker margins. Chelicerae (Figs 256, 258, 259) light brownish featuring dark distal cheliceral apophyses with two modified hairs and a conical outgrowth at the tips (Fig. 260). Three bristles placed very close to the base of each distal apophysis. Frontal prominences carry very short outgrowths. Upper margin of proximolateral apophyses extends to the bases of frontal prominences. Palps as in Figures 251–253. Procurus (Figs 262, 265, 266) with two short dorsal spines (Fig. 268). Apical apophysis of the procurus with wide base and sharpened apex (Fig. 267). Distally, procurus carries one well-developed and strongly chitinized dorsal apophysis (Figs 251, 265). Opisthosoma cylindrical with brownish-yellow colouring. Dorsally, ten brownish spots are visible, arranged in two parallel longitudinal lines. The last spot in each line smaller and closer to the centre of the opisthosoma. Ventrally, a darker transversal band is visible over the genital area. Spinnerets as in Figures 263, 264.

Female: the prosoma has the same colouring as in the male. Ocular area less elevated, with AME closer to the lateral triads. The brownish pigmentation around AME forms a continuous band, which extends over the frontal and dorsolateral parts of the ocular

PHOLCUS FUERTEVENTURENSIS WUNDERLICH, 1992
(FIGS 251–268)

Pholcus fuerteventurensis Wunderlich, 1992: 319, figs 145–155; Campos & Wunderlich, 1995: 295, fig. 10.

Material examined: 1 m, holotype, from Barranco de Los Molinos, Fuerteventura, Canary Islands, Spain (SMF 37189); 1 m, 5 ff, 1 juv., from Barranco de La Torre, Fuerteventura, 30.i.2003, Dimitrov & De Mas (CCRUB 4658-173, 4635-173, 4633-173, 4620-173, 4523-170); 3 mm, 8 ff, 1 juv., from Barranco de Los Molinos, Fuerteventura, 29.i.2003, Dimitrov &



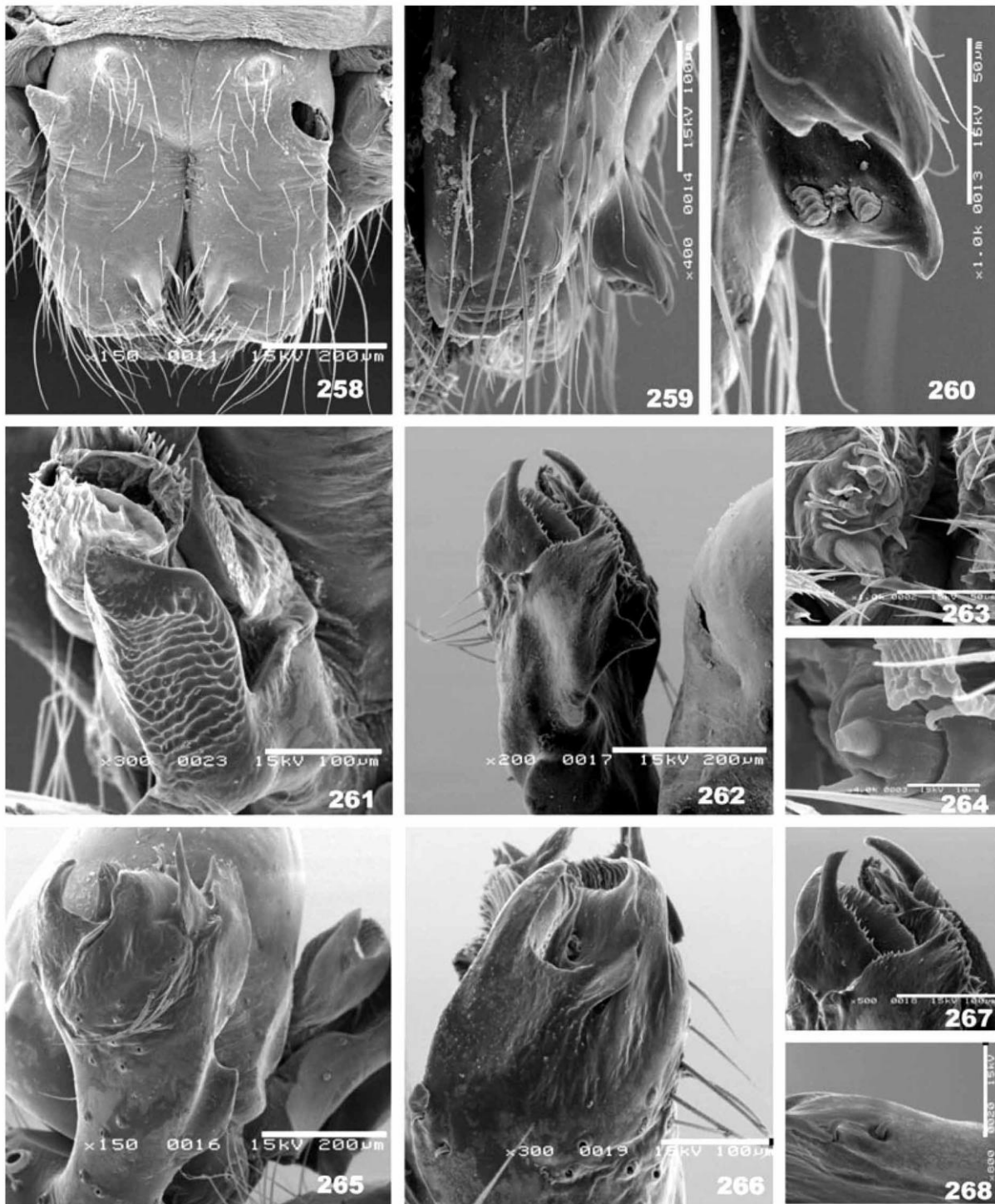
Figures 251–257. *Pholcus fuerteventurensis*: 251, male palp, prolateral; 252, male palp, retrolateral; 253, male palp, frontal; 254, epigynum, lateral; 255, epigynum, ventral; 256, male chelicerae, frontal; 257, vulva, dorsal. Scale bars 0.2 mm.

elevation. Sternum yellowish. Chelicerae as in male but without sexual modifications. Opisthosoma as in male but lighter. Epigynum and vulva as in Figures 254, 255, 257.

Measurements: Male: Prosoma 1.3 long, 1.5 wide. Opisthosoma 3.7 long, 1.5 wide. Total body length 5.0. Leg I femur 9.0, patella 0.5, tibia 9.1, metatarsus 16.6,

total 37.1. Palp, femur 0.7, patella 0.2, tibia 0.8, procurus 0.8. Female: Prosoma 1.1 long, 1.2 wide. Opisthosoma 3.7 long, 1.7 wide. Total body length 3.9. Leg I, femur 7.8, patella 0.5, tibia 7.6, metatarsus 11.7, tarsus 1.6, total 29.2.

Distribution: This species is known to inhabit many localities in Fuerteventura and also Barranco Hondo



Figures 258–268. *Pholcus fuerteventurensis*: 258, male chelicerae, frontal; 259, male chelicerae, lateral; 260, distal apophysis of male chelicerae; 261, projections of the bulb; 262, procurcus, ventral; 263, anterior lateral spinnerets; 264, posterior median spinnerets; 265, procurcus, prolateral (Dimitrov & Ribera, 2005a); 266, procurcus, dorsal; 267, apical apophysis of the procurcus, ventral; 268, small teeth on the procurcus, dorsal. Scale bars: 258, 262, 265, 200 μm; 259, 261,

on Gran Canaria (Fig. 276). Together with *P. ornatus*, this is the second species found on more than one island in the archipelago.

Natural history: *P. fuerteventurensis* is very widely spread all over Fuerteventura where it is found in cavities and small caves on hillsides. Some specimens were collected at sea-level in a small cave near Ajui, which is partially flooded during high tide. Although this species normally builds its webs on horizontal surfaces we observed webs built on practically vertical rocks in the Barranco de la Torre. Interestingly, *P. fuerteventurensis* has been found also in human constructions.

Dimitrov, D., Arnedo, M.A., Ribera, C. 2008. Colonization and diversification of the spider genus *Pholcus* Walckenaer, 1805 (Araneae, Pholcidae) in the Macaronesian archipelagos: Evidence for long-term occupancy yet rapid speciation. *Mol. Phyl. Evol.* 48: 596-614.

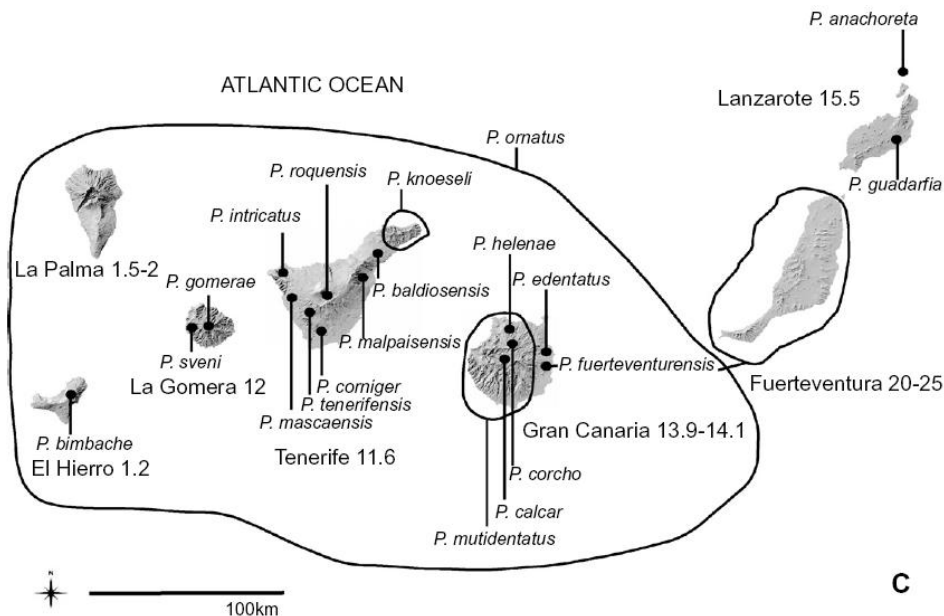


Fig. 1. (A) Map of the Macaronesian biogeographical region. (B) Known distribution of the Madeiran and north-west African *Pholcus* species. (C) Known distribution of the Canarian *Pholcus* species. Numbers following island names denote their estimated maximum age in Mya.



Fig. 5. Strict consensus of the 4 most parsimonious trees ($L = 2442$, $CI = 0.534$, $RI = 0.881$) found by MP analysis of the combined macaronesia data set. Support values higher than 50 are given as follows, bootstrap/Poisson bootstrap above branches and jackknife/symmetric resampling below branches. Geographic localities of the Macaronesian species are labeled as follows, Tenerife, rhomb; La Gomera, filled rhomb; El Hierro, square; Gran Canaria, filled square; Fuerteventura, triangle; Lanzarote, filled triangle; Montaña Clara, circle; Madeira, filled circle; La Palma, star.

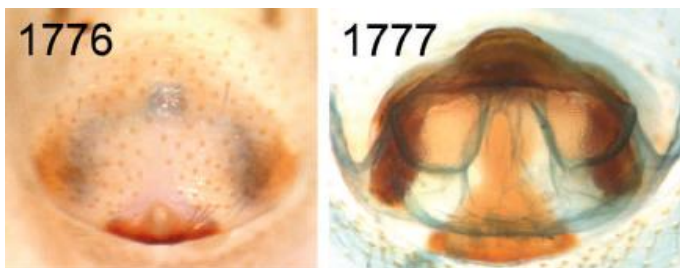
Huber, B. A. 2011. Revision and cladistic analysis of *Pholcus* and closely related taxa (Araneae, Pholcidae). *Bonner zool. Monographien* 58: 1-510.

p. 368



1746, 1747. *Ph. fuerteventurensis*, male, dorsal and lateral views.

p. 369



1776, 1777. *Ph. fuerteventurensis*.

p. 370

Pholcus fuerteventurensis Wunderlich, 1992

Figs. 1746, 1747, 1776, 1777, 1812-1816

Pholcus fuerteventurensis Wunderlich 1992: 319-320, figs. 145-155. Campos & Wunderlich 1995: 295-296, fig. 10. Dimitrov & Ribera 2007: 99-102, figs. 251-268.

Pholcus vachoni Dimitrov & Ribera 2005b: 4-6, figs. 1-5. Dimitrov & Ribera 2007: 114. Dimitrov *et al.* 2008: 608. New synonymy.

Justification of synonymy. *Pholcus vachoni* was described based on a single poorly preserved specimen. Reexamination of the holotype and of new material from near the type locality, and direct comparison with type material of *Ph. fuerteventurensis*, has shown that all characters separating *Ph. fuerteventurensis* and *Ph. vachoni* in the data matrix in Dimitrov & Ribera (2007) were wrongly coded. For example, the appendix has three processes (Fig. 1812; one of which is weakly sclerotized and thus poorly visible in the bleached holotype); the procurus is provided with dorsal spines (they are lost in the *Ph. vachoni* holotype, but their bases are clearly visible).

Types. *Pholcus fuerteventurensis*: Male holotype, 2♂4♀ paratypes from Canary Islands, Fuerteventura, Barranco de los Molinos [-28°32'N, 14°03'W], May (year not given) (J. Wunderlich), in SMF (paratypes examined). 1♂2♀ paratypes from Fuerteventura, ~8

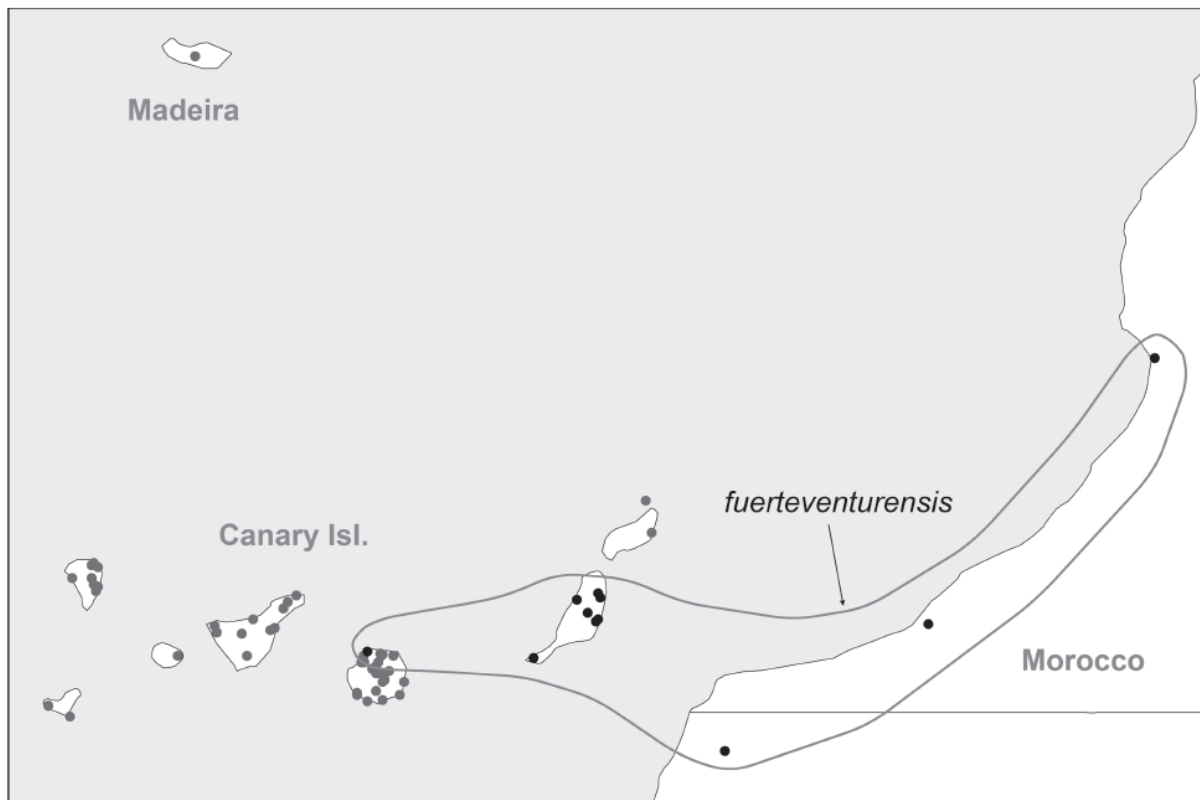


FIG. 1811. Known distribution of the Macaronesian species group. Black dots: *Ph. fuerteventurensis*. Gray dots: all other species (for details see Dimitrov & Ribera 2007 and Dimitrov et al. 2008). The Madeiran dot is centered on the island and does not reflect the actual known distribution of the Madeiran species.

km N Puerto del Rosario near Guisgüey [$-28^{\circ}35'N$, $13^{\circ}53'W$], ~350 m a.s.l., May (year not given) (J. Wunderlich), in MNHN, examined. For further paratypes (not examined), see Wunderlich (1992).

Pholcus vachoni: Male holotype from Morocco, Maroc-Sud, Agadir [$30^{\circ}24'N$, $9^{\circ}35'W$] (not "S of Agadir" as in Dimitrov & Ribera 2005b), v.1939 (L. Berland), in MNHN (AR 10298), examined.

Diagnosis. Distinguished from similar eastern Macaronesian species (*Ph. anachoreta*, *Ph. edentatus*, *Ph. guadarfia*) by male palpal morphology (Figs. 1812, 1813; procurus, trochanter apophysis, bulbal processes) and female genitalia (Figs. 1776, 1815); see also Dimitrov & Ribera (2007).

Male (Laayoune). Total body length 4.6, carapace width 1.4. Leg 1: 31.9 (8.2 + 0.6 + 8.1 + 13.3 + 1.7), tibia 2: 5.8, tibia 3: 3.8, tibia 4: 5.4; tibia 1 L/d: 55. Habitus as in Figs. 1746 and 1747. Carapace ochre-yellow with distinctive light brown pattern posteriorly, ocular area and clypeus not darkened except light brown mark below AME, sternum pale ochre-yellow, margins darker, very indistinct darker marks behind labium and posteriorly medially, legs ochre-

yellow, tips of femora and tibiae whitish, indistinct darker rings subdistally on femora and tibiae and in patella area, abdomen pale ochre-gray with five pairs of darker marks dorsally. Distance PME-PME 250 μ m, diameter PME 115 μ m, distance PME-ALE 45 μ m, distance AME-AME 45 μ m, diameter AME 70 μ m. Ocular area elevated, ~10 stronger hairs per side posteriorly. No thoracic furrow; clypeus unmodified. Chelicerae as in Fig. 1814, with relatively long distal frontal apophyses with two modified hairs each (fig. 260 in Dimitrov & Ribera 2007) and proximal frontal and lateral apophyses. Sternum wider than long (1.0/0.7), unmodified. Palps as in Figs. 1812 and 1813, coxa unmodified, trochanter with long straight retrolatero-ventral apophysis, femur without dorsal modification but with large ventral hump, procurus with distinctive distal structures, two short spines dorsally, large bulb with narrow uncus, embolus proximally slightly sclerotized, distally membranous, appendix with three lobes, one pointed, one flat but sclerotized, one flat and membranous. Legs without spines and curved hairs, few vertical hairs; retrolateral trichobothrium on tibia 1 at 5%; prolat-

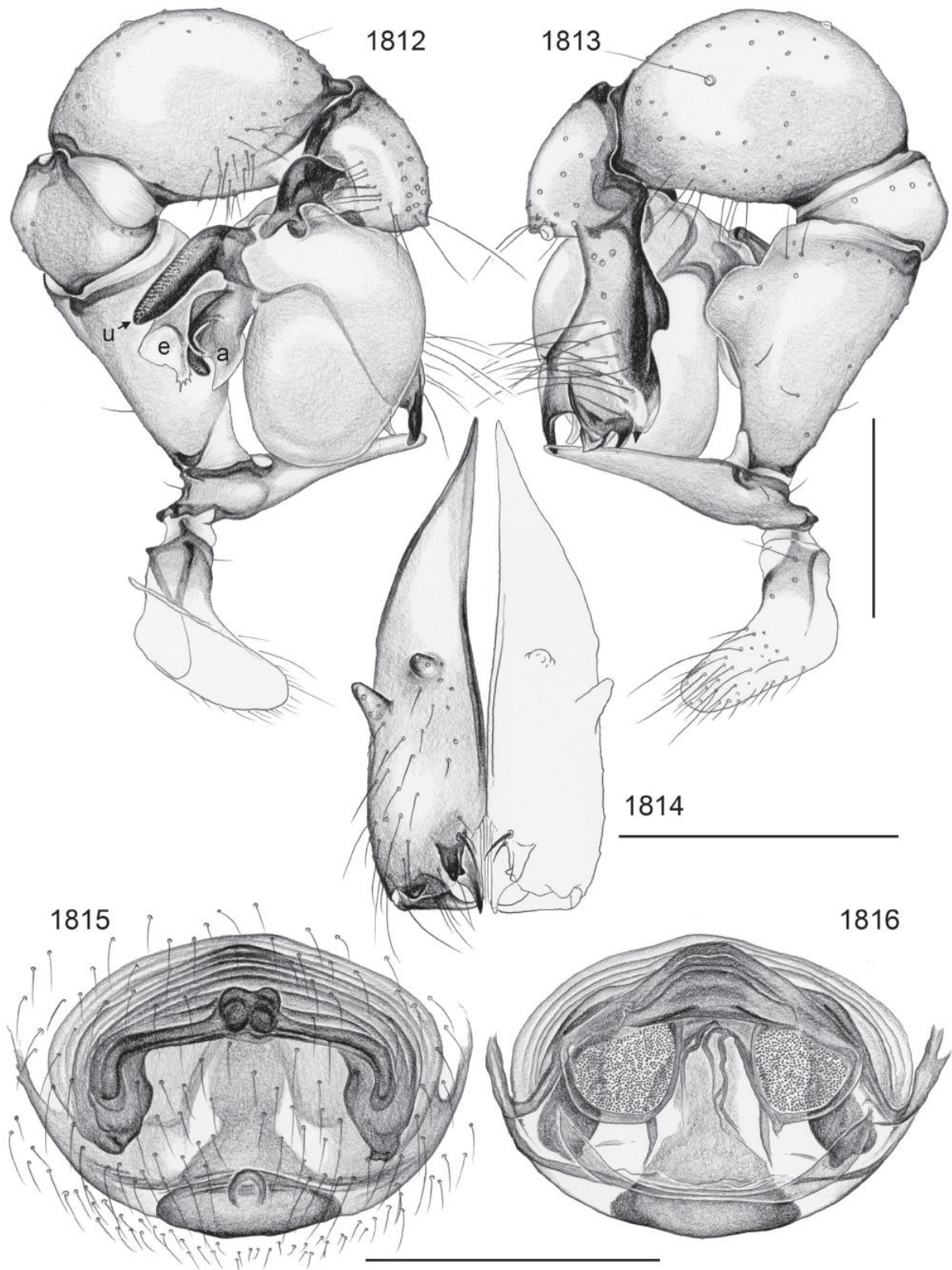


FIG. 1812-1816. *Pholcus fuerteventurensis*. 1812, 1813. Left male palp, prolateral and retrolateral views. 1814. Male chelicerae, frontal view. 1815, 1816. Cleared female genitalia, ventral and dorsal views. Scale lines: 0.5.

eral trichobothrium absent on tibia 1, present on other tibiae; tarsal pseudosegments indistinct, only distally ~10 visible in dissecting microscope.

Variation. Tibia 1 in 8 other males: 7.9-9.9 (mean 8.9). The extent of the carapace pattern varies slightly.

Female. In general similar to male, triads slightly closer (distance PME-PME 205 μm), light brown mark on sternum sometimes larger, with branches reaching margins. Tibia 1 in 6 females: 7.3-8.3 (mean 7.6). Epigynum relatively small, mostly weakly sclerotized, distinctive internal structures visible through cuticle (especially paired median structure anteriorly), posteriorly with very small sclerotized triangular sclerite with small 'knob' (Figs. 1776, 1815); internal genitalia as in Figs. 1777 and 1816.

Distribution. Known from the Canary Islands, Morocco, and Western Sahara (Fig. 1811).

Material examined. SPAIN-CANARY ISLANDS: *Fuerteventura*: Barranco de los Molinos: 2♂4♀ *Ph. fuerteventurensis* paratypes above; ~8 km N Puerto del Rosario near Guisgüey: 1♂2♀ *Ph. fuerteventurensis* paratypes above. Barranco de la Torre [-28°22'N, 13°54'W], 30.i.2003 (D. Dimitrov), 1♂1♀ in CRBA. Triguivijate [-28°26'N, 13°58'W], "AN 2160, 4707-174", no date (N. Macias), 1♂1♀ (2 vials) in CRBA.

MOROCCO: Maroc-Sud, Agadir: ♂ *Ph. vachoni* holotype above. Tan Tan, 10 km S Tan Tan plage [-28°21'N, 11°20'W], stones in grassland in dry oued, 11.ii.2007 (R. Bosmans), 1♂1♀ in CRB.

WESTERN SAHARA: Laayoune [El Aaiún], 40 km S Tarfaya [-27°30'N, 12°54'W], stones along road in stony desert, 11.ii.2007 (R. Bosmans), 2♂2♀ in CRB.